

Таким образом, схема замещения рис. 1б содержит 8 неизвестных: 4 - частичных емкостей и 4 - соответствующих им $\operatorname{tg}\delta$.

3. Пусть доступными для полсодинения к измерительному прибору есть электроды 1 - 4. (Экранный жиле используем только для проверки конечных результатов определения параметров по косвенному наблюдению).

Для нахождения всех неизвестных следует выполнить 4 измерения, определяя каждый раз по две характеристики - емкость и тангенс угла потерь. Возможная схема измерений представлена в таблице 1. Она содержит не 4, а 6 опытов. “Лишние” опыты будут использованы для вычисления погрешностей косвенных оценок.

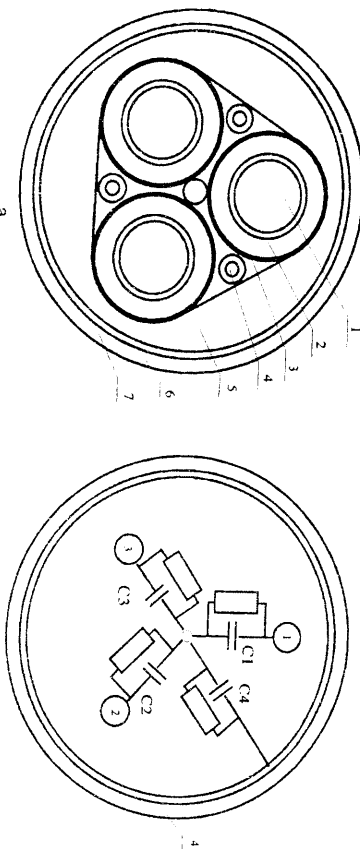


Рис. 1. Трехфазный кабель с отдельно экранированными жилами (а) и схема его замещения (б).

Таблица 1.

N опыта	Схема измерений частичных емкостей полюсно-зажимных к первому зажиму моста	Номера электродов, полюсно-зажимных ко второму зажиму моста	Код опыта
1	1, 2	3, 4	a
2	3, 2	1, 4	b
3	1, 3	2, 4	c
4	1, 2, 4	3	d
5	2, 3, 4	1	e
6	1, 3, 4	2	f

Система уравнений для определения частичных емкостей имеет вид (1). Это нелинейная (относительно неизвестных C_1 - C_4) и переопределенная система (6 уравнений вместо необходимых 4 -х). Выбирая первые три уравнения и одно из последних трех, получим три системы четвертого порядка.

Для тангенсов углов диэлектрических потерь получаем аналогичную переопределенную систему линейных алгебраических уравнений (СЛАУ) (2). Решая системы линейных алгебраических уравнений (1), найдем частичные емкости, а из (2) - соответствующие тангенсы углов диэлектрических потерь.

$$\begin{cases} 1=C_a(1/(C_1+C_2)+1/(C_3+C_4)) \\ 1=C_d(1/(C_1+C_2)+1/(C_3+C_4)) \\ 1=C_b(1/(C_1+C_3)+1/(C_2+C_4)) \\ 1=C_e(1/(C_1+C_4)+1/(C_2+C_3)) \\ 1=C_f(1/(C_2+C_3+1/(C_1+C_3+C_4))) \end{cases} \quad (1)$$

$$Atg * TG = TGE \quad (2)$$

где

$$\begin{cases} \frac{C_1(C_3+C_4)}{(C_1+C_2+C_3+C_4)C_s} & \frac{C_2(C_3+C_4)}{(C_1+C_2)C_s} & \frac{C_3(C_1+C_2)}{(C_3+C_4)C_s} & \frac{C_4(C_1+C_2)}{(C_3+C_4+C_2+C_3)C_s} \\ \frac{C_1(C_2+C_3)}{(C_1+C_2+C_3)C_s} & \frac{(C_2+C_3)C_s}{(C_2(C_1+C_3))} & \frac{(C_2+C_3)C_s}{(C_3(C_1+C_4))} & \frac{(C_1+C_4)C_s}{(C_3(C_2+C_4))} \\ \frac{(C_1+C_3)C_s}{(C_1C_3)} & \frac{(C_2+C_4)C_s}{(C_2C_3)} & \frac{(C_1+C_3)C_s}{(C_1+C_2+C_4)} & \frac{(C_2+C_4)C_s}{(C_3C_4)} \\ \frac{(C_1+C_2+C_4)C_s}{(C_2+C_3+C_4)C_s} & \frac{(C_1+C_2+C_4)C_s}{(C_1C_2)} & \frac{C_s}{C_1C_2} & \frac{(C_1+C_2+C_4)C_s}{(C_1C_4)} \\ \frac{C_s}{C_1C_2} & \frac{(C_2+C_3+C_4)C_s}{(C_1+C_3+C_4)C_s} & \frac{C_1C_3}{C_1+C_3+C_4} & \frac{(C_2+C_3+C_4)C_s}{(C_2C_3)} \\ \frac{(C_2+C_3+C_4)C_s}{(C_1+C_3+C_4)C_s} & \frac{(C_2+C_3+C_4)C_s}{(C_1+C_3+C_4)C_s} & \frac{(C_2+C_3+C_4)C_s}{(C_2C_3)} & \frac{(C_2+C_3+C_4)C_s}{(C_1+C_3+C_4)C_s} \end{cases}$$

$$Atg * TG = TGE$$

$$Atg = \begin{cases} \frac{tg\delta_1}{((C_1+C_3+C_4)C_s)} \\ \frac{tg\delta_2}{((C_1+C_2+C_4)C_s)} \\ \frac{tg\delta_3}{((C_1+C_2+C_3)C_s)} \\ \frac{tg\delta_4}{((C_1+C_2+C_3+C_4)C_s)} \end{cases}$$

$$TG = \begin{pmatrix} tg\delta_1 \\ tg\delta_2 \\ tg\delta_3 \\ tg\delta_4 \end{pmatrix}$$

$$TGE = \begin{pmatrix} tg\delta_a \\ tg\delta_b \\ tg\delta_c \\ tg\delta_d \\ tg\delta_e \\ tg\delta_f \end{pmatrix}$$

4. По указанной схеме (см. табл. 1) были измерены параметры отрезка шахтного медного гибкого бронированного кабеля сечением 3х95 mm^2 с комбинированной изоляцией жил (ПЭ + ПВХ пластикат) и оболочкой из ПВХ пластика. Длина отрезка - 3,4 м. Результаты представлены в таблице 2. Приведем решения системы (1) для опытов a, b, c, d при частоте 0,1 кГц. Из четырех вариантов решения